



EVROPSKÁ UNIE
Evropské strukturální a investiční fondy
Operační program Výzkum, vývoj a vzdělávání

MŠMT
MINISTERSTVO ŠKOLSTVÍ,
MLÁDEŽE A TĚLOVÝCHOVY



Rozvoj lidských zdrojů TUL pro zvyšování relevance, kvality a přístupu ke vzdělání v podmínkách Průmyslu 4.0

CZ.02.2.69/0.0/0.0/16_015/0002329

Úvod do zpracování obrazů

Mechatronika

Prezentace přednášky č. 5

Filtrace šumu, hledání hran

doc. Ing. Josef Chaloupka, Ph.D.



TECHNICKÁ UNIVERZITA V LIBERCI
www.tul.cz



<http://www.ite.tul.cz>



FILTRACE ŠUMU

- **Statistický princip filtrace šumu >>>**

- Aditivní šum v - na obrazové funkci nezávislý, nulová střední hodnota, směrodatná odchylka σ n -násobné sejmutí statické scény za stejných podmínek

- Z každého obrazu stejný bod $g_i(x,y)$, $i = 1 \dots N$

- Odhad správné hodnoty:

$$g_s(x,y) = \frac{g_1(x,y) + \dots + g_n(x,y)}{n} + \frac{v_1 + \dots + v_n}{n}$$

- Nová směrodatná odchylka šumu:

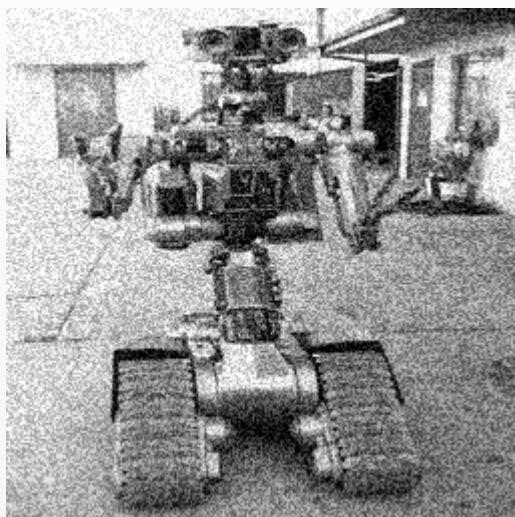
$$\sigma_s = \sigma / \sqrt{n}$$

- Centrální limitní věta >>> velké náhodné výběry >>> rozdělení výběrových průměrů je blízké k normálnímu, původně ho mít nemusela
- Velký výběr (30) >>> statistika >>> interval spolehlivosti



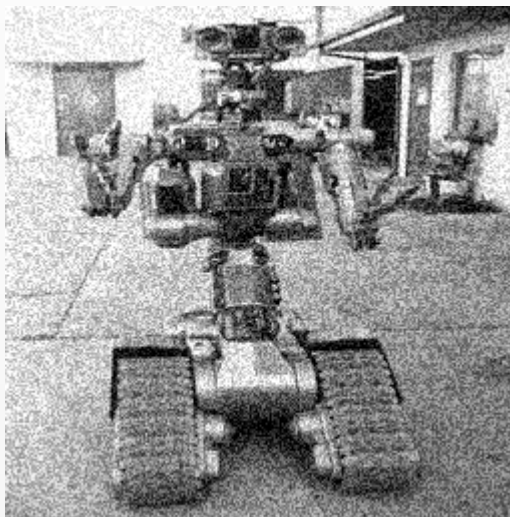


FILTRACE ŠUMU

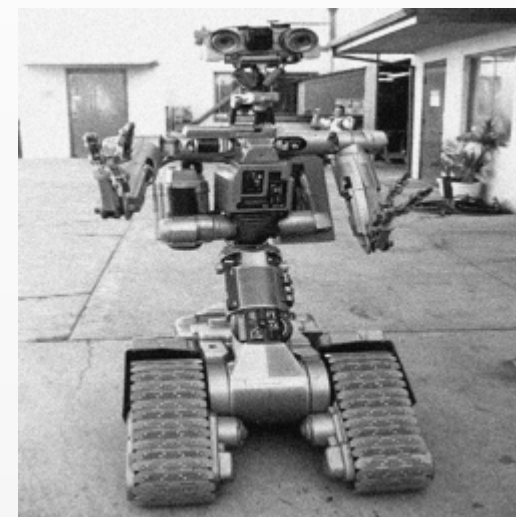


obr. 01

...



obr. 25



výsledek





FILTRACE ŠUMU

- Malé okolí O reprezentativního pixelu
- **1. vyhlazování** >>> potlačení šumu a osamocených fluktuací hodnot obrazové funkce >>> **DP**
- **2. detekce hran** >>> gradientní operátory >>> odhad derivací obrazové funkce >>> **HP**
- 1 a 2 protiklad (lineární podoba) >>> nelineární metody, které vyhlazují a přitom jsou šetrné k hranám a detailům v obraze
- Lineární operace >>> lineární kombinaci hodnot vstupního obrazu f v malém okolí O reprezentativního pixelu (x,y)
$$f(x,y) = \sum_{(m,n) \in O} h(x-m, y-n) \cdot g(m,n)$$

h ... konvoluční maska
- Výhodná znalost >>> známé statistické parametry šumu
- Předzpracování (žádná nová informace S – H věta, potlačení nebo zvýraznění informace)
- Zlepšení informace >>> lepší pořizení
- Konvoluční filtry >>> hardwarová realizace





FILTRACE ŠUMU



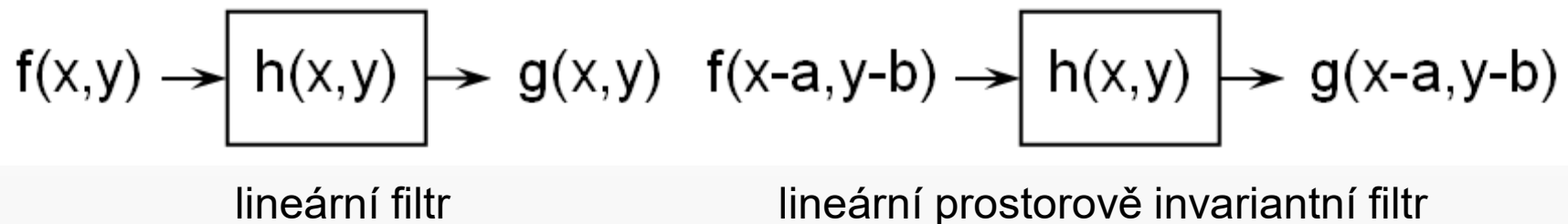
- Průměrování z více obrazů >>> bez rozmazání
- Jeden obraz >>> nadbytečnost údajů v obraze >>> jasová podobnost sousedních pixelů
- Analýzy hodnot jasu v jeho vybraném okolí >>> nahrazení hodnoty jasu hodnotou typického reprezentanta v okolí nebo kombinací několika hodnot





FILTRACE ŠUMU

- Nová hodnota reprezentativního bodu >>> lineární kombinace hodnot ve zkoumaném okolí >>> diskrétní konvoluce
- **Lineární filtry** >>> různé váhy v lineární kombinaci, které jsou dány příslušnou konvoluční maskou h (dvojměrnou impulsní odezvou)



- Prostorově invariantní filtry (homogenní filtry) >>> chování filtru se nemění při změně polohy v obrázku >>> postupná konvoluce s malou maskou
- Linearita porušena >>> hodnota obrazové funkce (jas, intenzita) je nezáporná a omezená, obrazy jsou ohraničeny v prostoru
- Prostorová invariantnost jen pro omezené posuny konvolučních masek

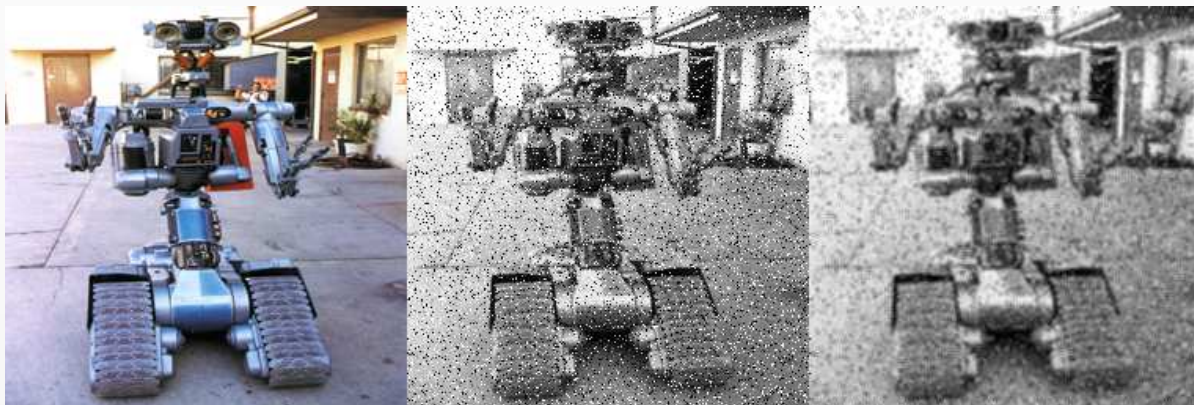




FILTRACE ŠUMU

- **Metoda prostého průměrování** >>> nová hodnota jasu bodu (x,y) >>> aritmetický průměr původních jasů ve zvoleném okolí, konvoluční maska h pro okolí 3 × 3:

$$h = \frac{1}{9} \begin{bmatrix} 1 & 1 & 1 \\ 1 & 1 & 1 \\ 1 & 1 & 1 \end{bmatrix} \quad \text{s váhováním bodů} \quad h = \frac{1}{10} \begin{bmatrix} 1 & 1 & 1 \\ 1 & 2 & 1 \\ 1 & 1 & 1 \end{bmatrix}, \quad h = \frac{1}{16} \begin{bmatrix} 1 & 2 & 1 \\ 2 & 4 & 2 \\ 1 & 2 & 1 \end{bmatrix}$$



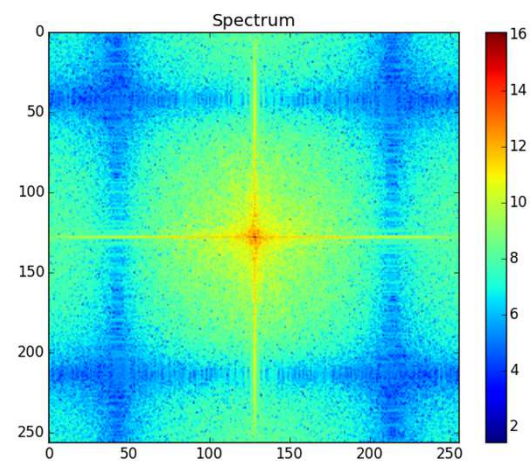
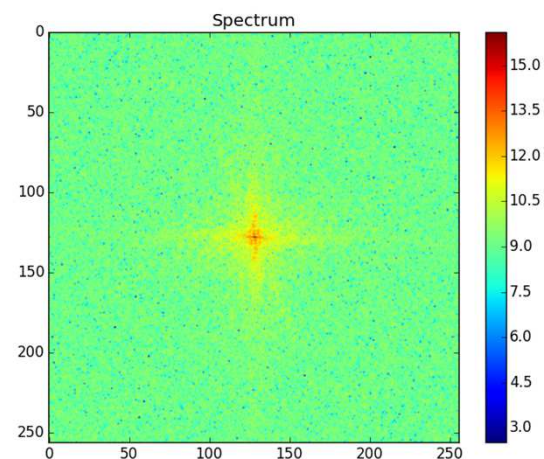
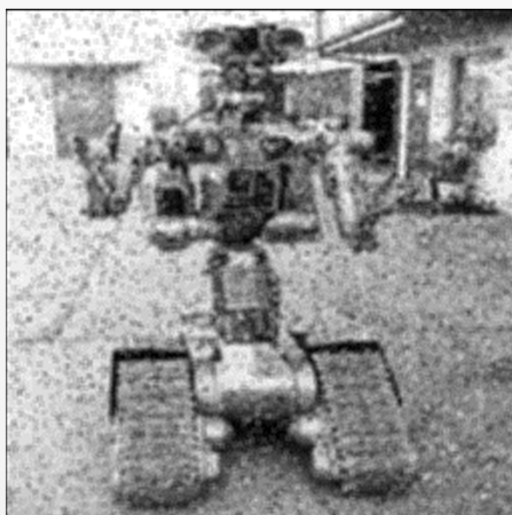
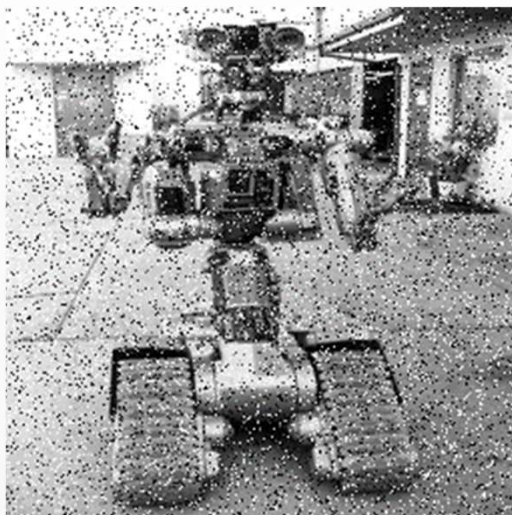
- **(-)** rozmazání hran, konvoluce >>> součin Fourierova obrazu 2-D signálu a Fourierova obrazu konvolučního filtru >>> filtrace DP
- Průměr >>> pomocná hodnota u některých nelineárních metod
- Nová hodnota reprezentativního bodu >>> lineární kombinace hodnot ve zkoumaném okolí >>> diskrétní konvoluce





FILTRACE ŠUMU

- **Metoda prostého průměrování**





FILTRACE ŠUMU

- **Separabilní filtry** >>> konvoluční masku v p-rozměrném okolí, obvykle $p = 2$; 3 lze rozložit na součin jednorozměrných masek

$$\begin{bmatrix} 1 & 4 & 6 & 4 & 1 \\ 4 & 16 & 24 & 16 & 4 \\ 6 & 24 & 36 & 24 & 6 \\ 4 & 16 & 24 & 16 & 4 \\ 1 & 4 & 6 & 4 & 1 \end{bmatrix} = \begin{bmatrix} 1 & 4 & 6 & 4 & 1 \end{bmatrix} \begin{bmatrix} 1 \\ 4 \\ 6 \\ 4 \\ 1 \end{bmatrix}$$

- Binomický 2D filtr rozměru 5×5 (binomických čísel >>> součet dvou čísel v předchozím řádku Pascalova trojúhelníku)
- Pro výpočet konvoluce >>> 25 násobení a 24 sčítání pro každý pixel, separabilní filtr >>> 10 součinů a 8 součtů
- Pro 3D obrázek (např. z tomograf), konvoluční jádro rozměru $9 \times 9 \times 9$, pro každý voxel >>> 729 součinů a 728 součtů, separovatelný filtr >>> 27 součinů a 24 součtů na voxel





FILTRACE ŠUMU

- **Rekurzivní filtry** >>> invariantní >>> jako vstupní hodnoty pro konvoluci použity hodnoty vypočtené v předchozí poloze masky (jen její části, která je již naplněna novými hodnotami), pro 1D signál:

$$g'_n = h_0 g_n + \sum_{i=0}^r h_n g'_{n-i}$$

- V konvoluci se kombinují nefiltrované a filtrované hodnoty >>> zavedení zpětné vazby, fungují v jednom daném směru, pro uchování minulých hodnot signálů je potřebná paměť >>> dynamický systém
- U 1D mohou být nestabilní u 2D jsou stabilní vždy, jednodušší popis než u nerekurzivních filtrů, u 2D neexistuje přirozený směr (u 1D čas), preferovány filtry s 0 fázovým posunem (neposouvání hran)
- Složitá teorie a interpretace, zjednodušení >>> kaskádní řazení jednoduchých filtrů





FILTRACE ŠUMU



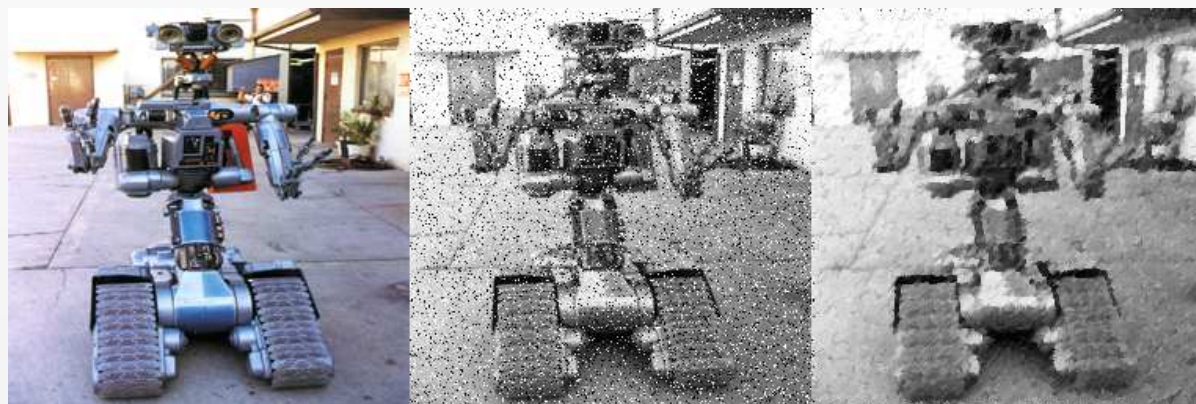
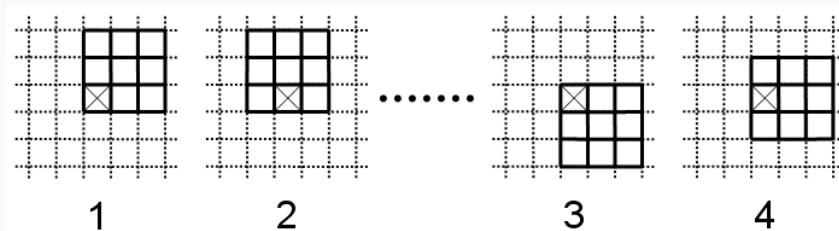
- Částečné potlačení rozmazáváním hran
- V analyzovaném okolí O se snaží najít jen tu jeho část (oblast o zhruba konstantním jasu), do které reprezentativní bod patří





FILTRACE ŠUMU

- **Filtrace metodu rotující masky** >>> nerozmazává hrany, mírně ostří, maska čtverec 3×3 , 8 poloh masky, v každé masce se spočte rozptyl jasů, vybere se maska s nejmenším rozptylem (homogenní okolí reprezentativního bodu), výsledná hodnota reprezentativního bodu - aritmetický průměr hodnot ve vybrané masce, rychle konverguje do stabilního stavu – závisí na velikosti masky



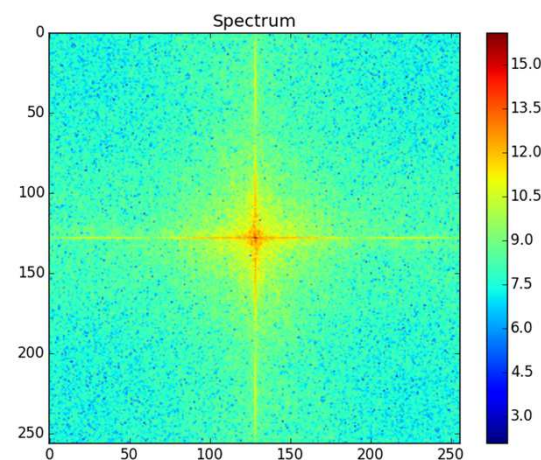
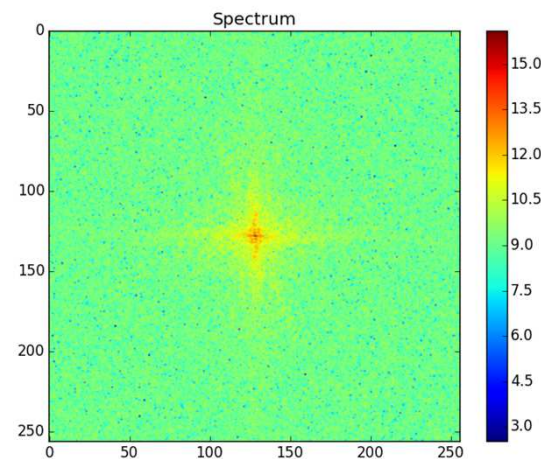
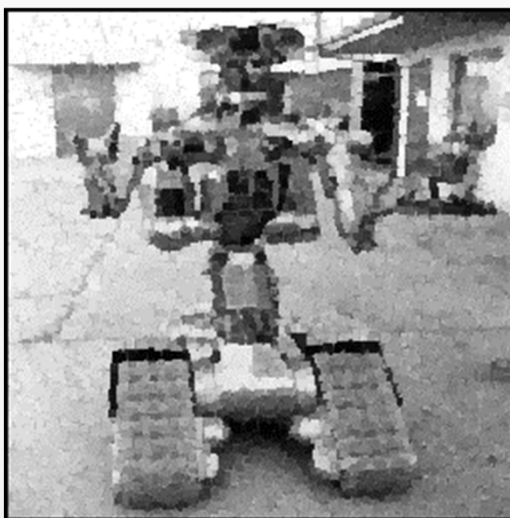
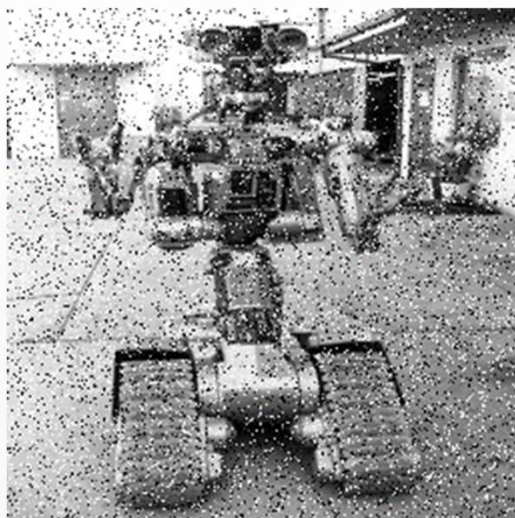
- Využití >>> oprava velkoplošných chyb bez vlivu na zbytek obrazu, jednoduché vyhlazení bez poškození hran.





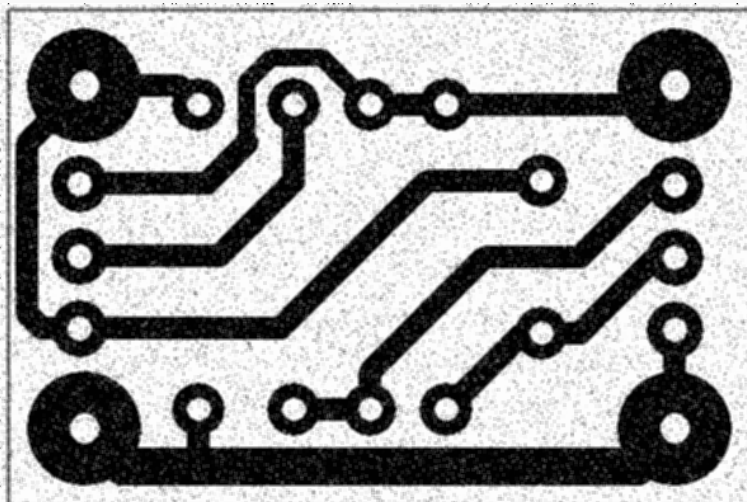
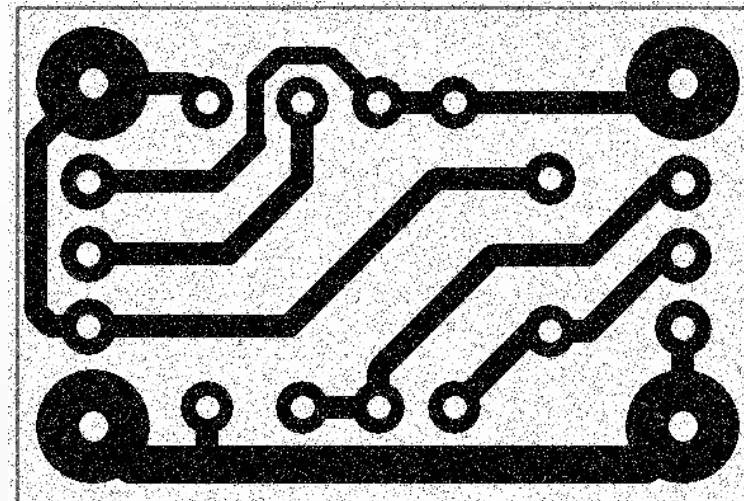
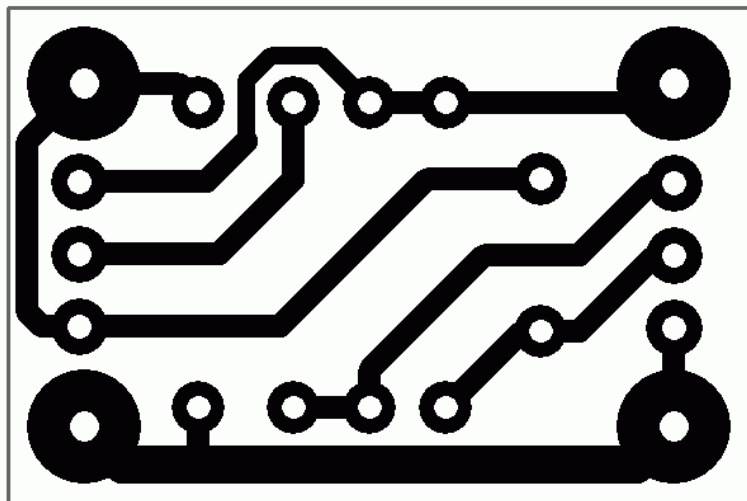
FILTRACE ŠUMU

- Filtrace metodu rotující masky

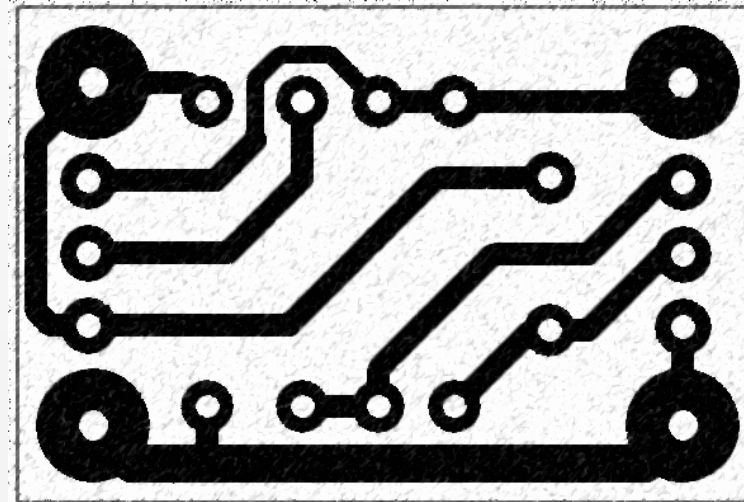




FILTRACE ŠUMU



průměrování



rotující maska





FILTRACE ŠUMU

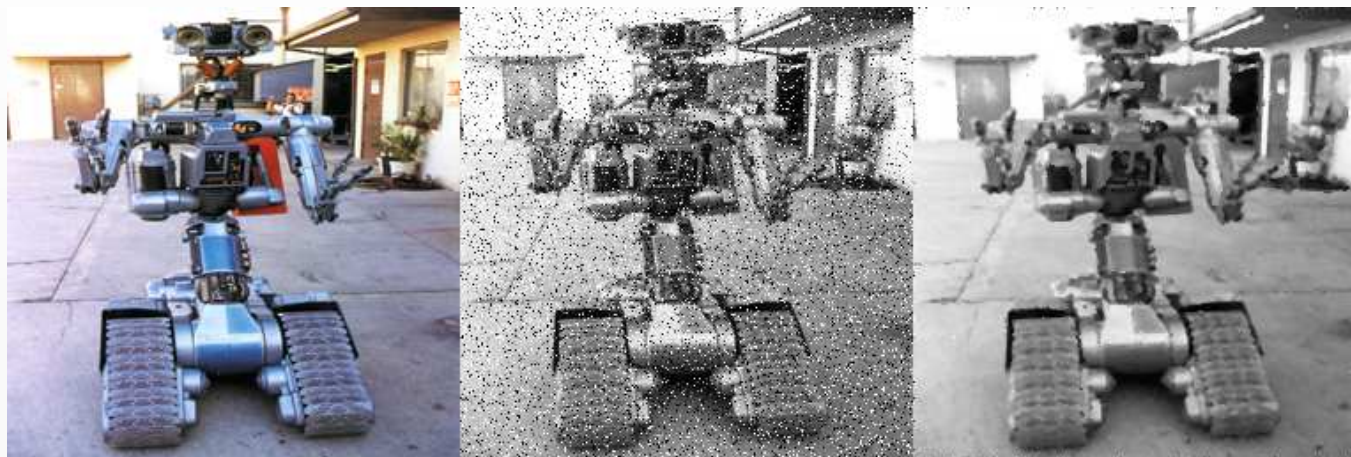
- **Statistické nelineárním filtry**
- Průměrování 8 x stejná hodnota, 1 x ∞ , aritmetický průměr = ∞ , je vychýlený
- Lineárním aproximací pomocí metody nejmenších čtverců - prokládání množiny bodů přímkou, jeden bod je vychýlený, aproximující přímka je vychýlená
- Robustní statistika >>> nalézt vychýlené hodnoty a vyloučit je
- Vyloučení maximální a minimální hodnoty
- Výběrové kvantily >>> např. medián M >>> hodnota, pro kterou je pravděpodobnost jevu $x < M$ rovna jedné polovině
- Uspořádání vzestupně hodnoty jasu v lokálním okolí
- **Medián**: prvek, který je uprostřed této posloupnosti, výhodné masky 3×3 , 5×5 , ...



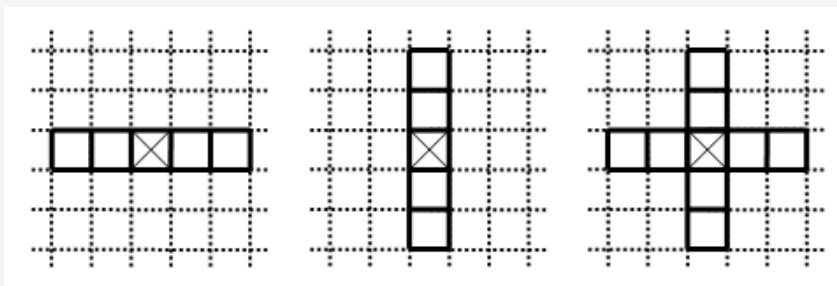


FILTRACE ŠUMU

- Filtrování pomocí mediánu



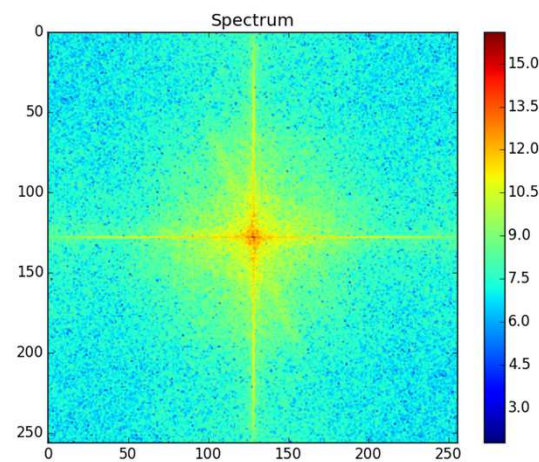
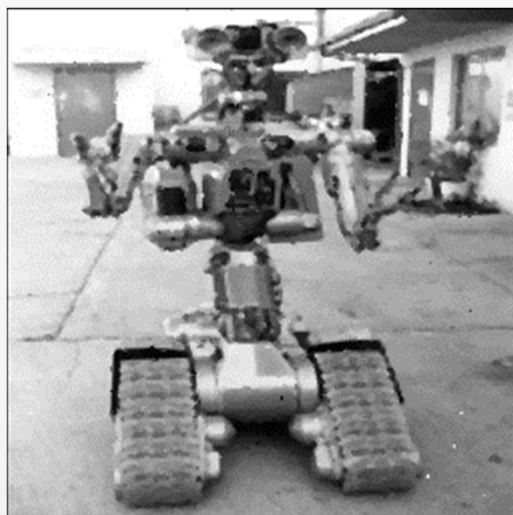
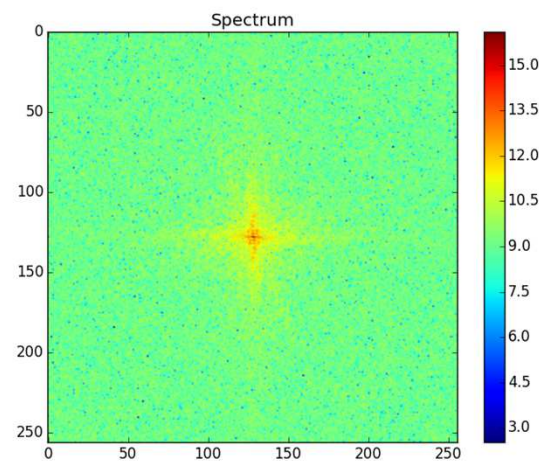
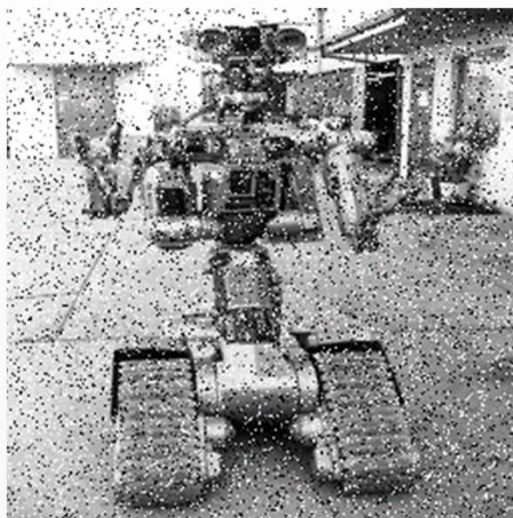
- Redukce rozmazání hran, potlačení impulsního šum
- (-) filtrace mediánem v obdélníkovém okolí >>> porušení tenkých čar a ostrých >>> používá se jiný tvar okolí:





FILTRACE ŠUMU

- Filtrování pomocí mediánu





DETEKCE HRAN

- Pro vnímání člověka jsou velmi důležitá místa v obraze, kde se náhle mění hodnota jasů >>> pixely >>> hrany
- Lokální předzpracování >>> hledání hran
- Hrana v obraze dána vlastnostmi obrazového elementu a jeho okolí
- Určení >>> rychlost změny hodnoty obrazové funkce $f(x,y)$
- Studium změn funkce dvou proměnných >>> parciální derivace
- Změnu funkce udává její gradient (vektor ∇), určuje směr největšího růstu funkce (směr gradientu) a strmost tohoto růstu (velikost, modul gradientu)
- Hrany >>> pixely s velkým modulem gradientu





DETEKCE HRAN

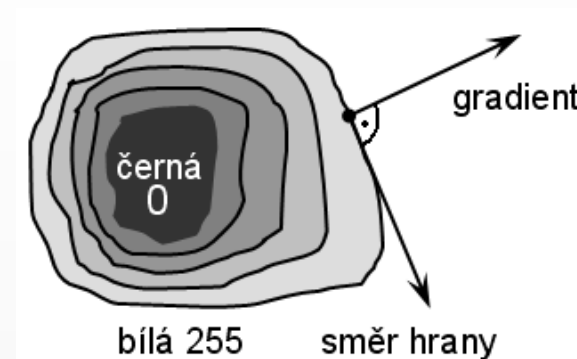
- Pro spojitou funkci $f(x,y)$:

$$|\nabla f(x,y)| = \sqrt{\left(\frac{\partial f}{\partial x}\right)^2 + \left(\frac{\partial f}{\partial y}\right)^2}$$

$$\Phi = \arg\left(\frac{\partial f}{\partial x}, \frac{\partial f}{\partial y}\right)$$

velikost gradientu

směr gradientu



úhel (v radiánech) mezi souřadnou osou x a radiusvektorem k bodu (x,y)

- Odhad velikosti hrany (gradientu) $\gg \gg$ všesměrový lineární Laplaceův operátor-Laplacián ∇^2 , vychází z druhých parciálních derivací

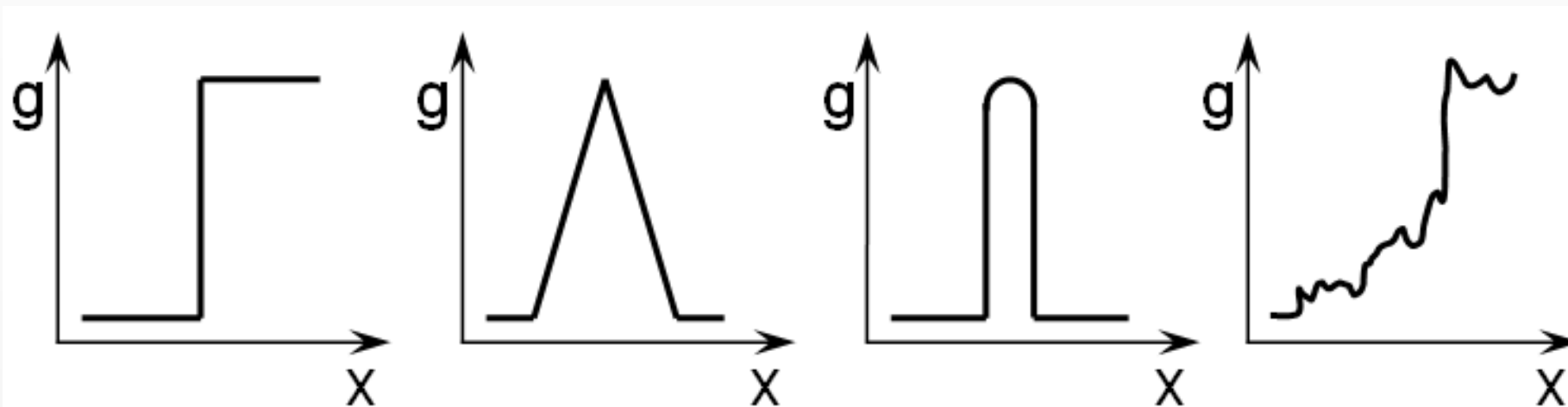
$$\nabla^2 g(x,y) = \frac{\partial^2 g(x,y)}{\partial x^2} + \frac{\partial^2 g(x,y)}{\partial y^2}$$

- Použití hran nalezených v obraze lokálními operátory pro hledání hranic objektů, pokud objekt odpovídá oblasti homogenního jasu
- Směr hrany F se někdy definuje jako kolmý na směr gradientu $\Psi \gg \gg$ hranové pixely se poté mohou spojovat do hranic





DETEKCE HRAN



hrany: skoková

střechová

liniová

zašuměná





DETEKCE HRAN

- Aproximace parciální derivace diferencemi:

$$\Delta_x g(x, y) = g(x, y) - g(x - n, y)$$

$$\Delta_y g(x, y) = g(x, y) - g(x, y - n)$$

- Symetricky (zanedbává vliv bodu x, y – moc se nepoužívá):

$$\Delta_x g(x, y) = g(x + n, y) - g(x - n, y)$$

$$\Delta_y g(x, y) = g(x, y + n) - g(x, y - n)$$





DETEKCE HRAN

- **Gradientní operátory:**
 - 1. operátory aproximují derivace pomocí diferencí, některé jsou invariantní vůči rotaci (Laplacián - konvoluce s jedinou maskou), pro jiné, aproximující první derivaci využítí několika masek odpovídajících příslušné orientaci, výběr té, která nejlépe lokálně aproximuje obrazovou funkci, výběrem jedné z masek je určen i směr gradientu (orientace)
 - 2. operátory založené na hledání hran v místech, kde druhá derivace obrazové funkce prochází nulou (zero-crossing), Marrův-Hildrethové operátor a Cannyho hranový detektor
 - 3. operátory snažící se lokálně aproximovat obrazovou funkci poměrně jednoduchým parametrickým modelem, např. polynomem dvou proměnných

